

量子阱激光二极管泵浦 Nd:YLF 固体激光器的调 Q*

周复正 朱三又** 马建伟 肖建伟*** 沈小华 张振亚**** 沈丽青 范滇元
(中国科学院上海光机所, 201800)

提要: 用国产脉冲功率 200 mW 的多量子阱激光二极管阵列(MQW-LDA)泵浦 Nd:YLF 固体激光器, 实现了声光调 Q。得到激光的脉宽 70 ns, 能量 1 μJ, 重复频率 100 Hz, 波形起伏小于 1%。

关键词: 声光 Q 开关, 泵浦

Q-switching of MQW-LDA pumped Nd:YLF laser

Zhou Fusheng, Zhu Sanyou, Ma Jianwei, Xiao Jianwei, Shen Xiaohua, Zhang Zhenya,
Shen Liqing, Fan Dianyuan
(Shanghai Institute of Optics and Fine Mechanics, Academia Sinica, Shanghai)

Abstract: Acousto-optic Q-switching of a homemade MQW-LDA pumped Nd:YLF laser has been realized. A pulse width of 70 ns, energy of 1 μJ at 100 Hz repetition rate have been obtained. The fluctuation of profile is less than 1%.

Key words: acousto-optic Q-switching pumping

一、引言

半导体激光泵浦的固体激光调 Q 器件(DPL)近年来在国际上发展迅速。在激光雷达、激光测距、光电对抗等多方面应用中, 显露潜在优势^[1]。声光 Q 开关的速度不及电光开关, 但声光调制器具有较小的腔内插入损耗, 适合于半导体激光泵浦固体激光器件。国际上 DPL 声光调 Q 输出平均功率达 1.6 W(20 ns, 160 μJ, 10 kHz)^[2]、脉冲输出功率达 500 kW(4 mJ, 8 ns)^[3], 其倍频用于泵浦 Ti 宝石激光器, 得到波长在 696~1000 nm 范围连续可调谐、稳定的激光输出。

我们先后实现了国产半导体激光泵浦固体激光器输出^[4]、DPL 的增益开关效应^[5]、以及 DPL 的倍频和自倍频^[6]。本文首次报道用国产多量子阱激光二极管阵列器件泵浦 Nd:YLF 固体激光器声光调 Q 的实验结果和分析计算。

收稿日期: 1992 年 3 月 25 日; 修改稿收到日期: 1992 年 5 月 8 日。

* 本研究为上海自然科学基金资助项目。** 上海激光所; *** 北京半导体所; **** 机电部 1411 所。

二、声光开关

对泵浦功率为 100~500 mW、固体激光腔基模尺寸为 100~200 μm、静态光学总损耗为

3~6%、腔长为 30~80 mm 的 DPL 器件，设计并研究了小型、低插入损耗、高衍射效率的专用声光 Q 开关，其结构和声光作用原理如图 1 所示。

当入射光束与声束波面成布喇格角时，满足布喇格衍射条件：

$$\sin \theta_B = \lambda_0 / 2n\Lambda_s$$

式中 θ_B 为布喇格角， λ_0 为自由空间光波长， Λ_s 为声波长， n 为声光介质折射率。如果

$$Q = \frac{K_s^2 L}{K} \geq 4\pi, \quad R = \frac{\delta\theta_a}{\delta\theta_0} = 1$$

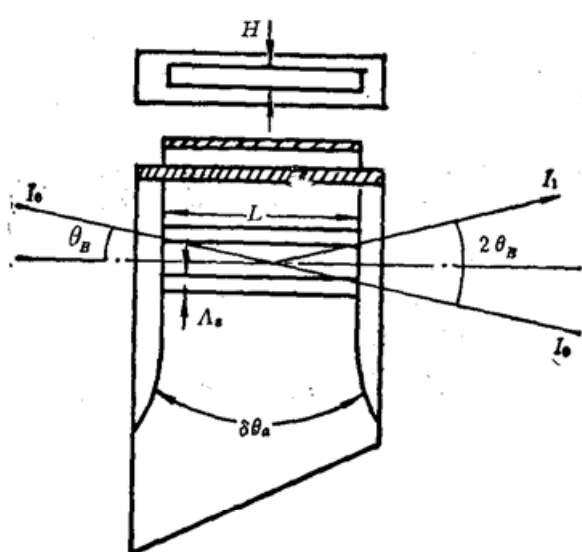
则声光相互作用进入布喇格区，且满足光波矢与声波矢的动量匹配。式中 K_s 为声波矢， K 为光波矢， L 为声光作用长度， $\delta\theta_a$ 为声束发散度， $\delta\theta_0$ 为光束发散度。一级衍射效率为

$$\eta_1 = \frac{I_1}{I_0} = \sin^2 \left[\frac{\pi}{\lambda_0} \left(\frac{M_2 L P_a}{2H} \right)^{1/2} \right]$$

Fig. 1 Construction and action of A-Q modulation

式中 I_0 为入射光强， I_1 为一级衍射光强， H 为换能器高度， P_a 为超声功率， M_2 为声光介质优质系数。通过改变 RF 激励功率控制超声功率，使衍射效率变化，形成声光开关作用。

根据以上公式和 DPL 要求，研制了声光 Q 开关。声光介质为熔石英玻璃，声光作用长度 $L=16$ mm，有效作用口径 $\phi 0.5$ mm，衍射角 $\theta_B=4.87$ mrad，两端镀 1.05 μm 高增透膜，插入损耗小于 1%。压电换能器为 Y36° 切向的 LiNbO₃ 晶体，超声频率 $f_0=80$ MHz，用真空钢压焊工艺和 T 型匹配网络达到良好电声匹配，使 RF 激励功率有效地转换成光声介质的声纵波。阻抗为 50Ω 时，VSWR≈1。驱动功率 1~5 W 可变，一级衍射效率 15~30% 可调。用 He-Ne 激光检验，当激光线偏振方向与声纵波波面垂直时，在 1W RF 功率激励下，衍射效率达 30%。



三、DPL 调 Q 实验

DPL 声光调 Q 实验装置如图 2 所示。国产分子束外延(MBE)设备研制的 20 条 AlGaAs/GaAs 多量子阱线列阵器件阱宽 10 nm、条宽 5 μm、间距 3 μm，总发光面尺寸为 160 μm × 1 μm。半导体热电堆控制温度在 18°C 时，MQW-LDA 辐射中心波长为 790.7 nm，谱宽 3 nm，落在 Nd:YLF 晶体的次吸收峰内。在脉冲宽度为 400 μs、重复频率为 100 Hz 的电方波驱动下，阈值电流为 650 mA，当驱动电流增至 1.4 A 时，MQW-LDA 脉冲输出功率 200 mW。光学耦合为焦点共轭成像，用二维 CCD(500×582 光敏元)图像处理系统测量焦斑尺寸为

$315\text{ }\mu\text{m} \times 77\text{ }\mu\text{m}$, MQW-LDA 的近场和远场光强分布如图 3 所示。近场强度呈多条状分布, 但焦点光强为单值极大, 适合纵向端面泵浦固体激光器。

固体激光器设计为准共焦腔结构, 以便在腔内形成细光束有利于声光作用。选择 a 轴取向切割 Nd:YLF 晶体, 在 π 偏振 ($1.047\text{ }\mu\text{m}$) 有较大的增益截面, 以降低泵浦阈值功率。晶体长 5 mm , Nd 浓度 1% , 输入端为平面, 对 $1.05\text{ }\mu\text{m}$ 波长反射 99.6% , 对 $0.8\text{ }\mu\text{m}$ 透过 85% 。另一端为球面, 曲率 $R=50\text{ mm}$, 对波长 $1.05\text{ }\mu\text{m}$ 高增透。输出端为平凹反射镜, 曲率 $R=50\text{ mm}$, 对波长 $1.05\text{ }\mu\text{m}$ 透过 2% 。固体激光器腔长 60 mm , TEM₀₀ 模尺度 $\omega_0=90\text{ }\mu\text{m}$ 。

声光 Q 开关置于固体激光器腔内光腰处, 分离元件谐振腔的弛豫振荡阈值泵浦功率约

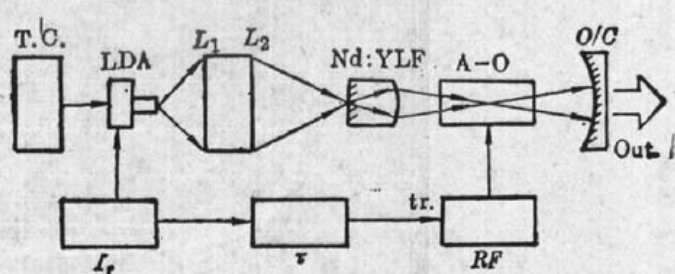


Fig. 2 Schematic diagram of A-O Q-switched laser

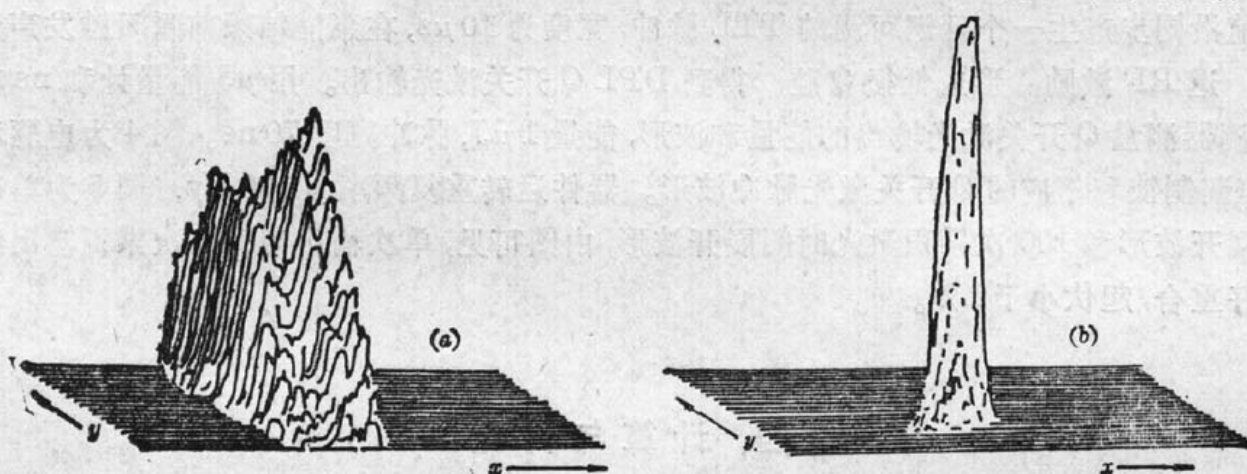


Fig. 3 Intensity distribution of MQW-LDA

(a) direct output; (b) at focus

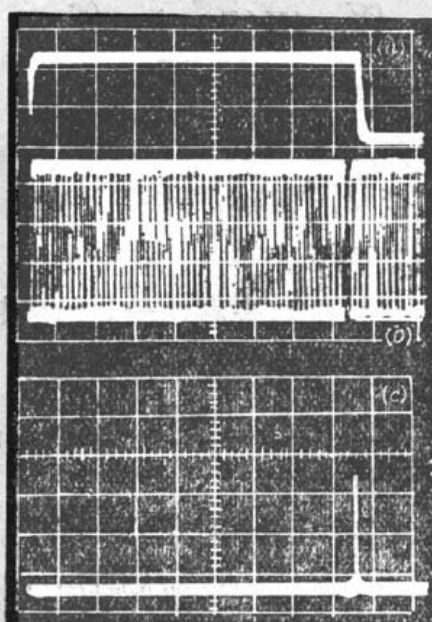


Fig. 4 Q-switching of MQW-LDA pumped Nd:YLF laser

(a) driving current pulse; (b) A-O modulation waveform; (c) Q-switched laser pulse

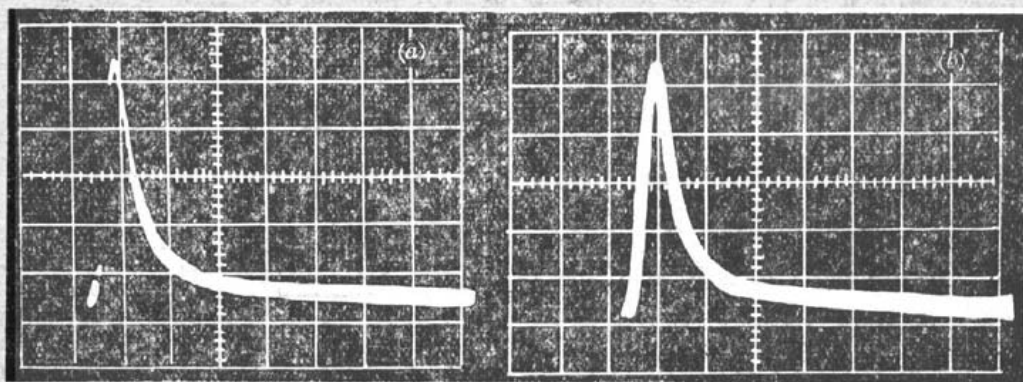


Fig. 5 Temporal waveform profile of Q -switched Nd:YLF laser
(a) single laser pulse ($0.1 \mu\text{s}/\text{div}$); (b) 100-times of record accumulated ($0.1 \mu\text{s}/\text{div}$)

60 mW。为获良好的声光衍射作用, 旋转 Nd:YLF 晶体, 使 DPL 激光输出的偏振方向与声光场作用方向垂直。置声光调制器于 RF 激励状态, 形成高损 Q 腔。用 MQW-LDA 的电驱动方波前沿同步产生一个延迟可调的 TTL 脉冲, 宽度为 $10 \mu\text{s}$, 在泵浦结束前瞬间触发声光驱动电源, 退 RF 激励, 形成低损 Q 腔, 得到 DPL Q 开关激光输出。用 μJ 能量计和 ns 响应 PIN 探测器测量 Q 开关激光输出的能量和波形, 能量 $1 \mu\text{J}$, 脉冲宽度 70 ns 。图 4 为电驱动脉冲、电声调制波和相应的 Q 开关激光脉冲波形。器件运转重复频率为 100 Hz , 图 5 为单次激光时间展开波形和 100 次累积激光时间展开波形, 由图可见, 单次输出与 100 次累积输出激光波形良好重合, 起伏小于 1% 。

四、计算与讨论

在速率方程近似下, 当 Q 开关没被打开时, 腔处于高损态, 速率方程组为^[7]

$$\left\{ \begin{array}{l} \frac{d\Delta N}{dt} = W - \frac{c\sigma}{LA} \Delta NS - \frac{\Delta N}{\tau_f}, \quad t \leq t_1 \\ \frac{dS}{dt} = \frac{c\sigma}{LA} \Delta N(S+1) - \frac{\delta c}{2L} S, \quad t \leq t_1 \end{array} \right. \quad (1-a)$$

$$\left\{ \begin{array}{l} \frac{d\Delta N}{dt} = W - \frac{c\sigma}{LA} \Delta NS - \frac{\Delta N}{\tau_f}, \quad t > t_1 \\ \frac{dS}{dt} = \frac{c\sigma}{LA} \Delta N(S+1) - \frac{\delta c}{2L} S, \quad t > t_1 \end{array} \right. \quad (1-b)$$

其中 ΔN 与 S 分别为反转粒子数与光子数, W 为 Nd:YLF 纯吸收的泵浦光速率, c 为光速, σ 为受激发射截面, τ_f 为上能级寿命, L 为腔长, A 为 TEM₀₀ 模在棒端面的截面积, $\delta = \delta_1 + \delta_2 + \delta_3$, δ 是 Q 开关未打开时的总损耗, δ_1 为输出耦合镜的透射损耗, δ_2 为声光晶体的调制损耗, δ_3 为其它损耗, t_1 为 Q 开关触发起始时间。

在 Q 开关被触发打开瞬间, 由于声场消失存在一定的渡越时间, 腔处于损耗陡变暂态。设声场消失方式按指数衰减, 于是在暂态过程中的速率方程组为

$$\left\{ \begin{array}{l} \frac{d\Delta N}{dt} = W - \frac{c\sigma}{LA} \Delta NS - \frac{\Delta N}{\tau_f}, \quad t_1 < t \leq t_s \\ \frac{dS}{dt} = \frac{c\sigma}{LA} \Delta NS - \frac{c}{2L} S \cdot \delta \cdot \left(\frac{\delta}{\delta_4} \right)^{(t_1-t)/t_s}, \quad t_1 < t \leq t_s \end{array} \right. \quad (2-a)$$

$$\left\{ \begin{array}{l} \frac{d\Delta N}{dt} = W - \frac{c\sigma}{LA} \Delta NS - \frac{\Delta N}{\tau_f}, \quad t > t_s \\ \frac{dS}{dt} = \frac{c\sigma}{LA} \Delta N(S+1) - \frac{\delta c}{2L} S, \quad t > t_s \end{array} \right. \quad (2-b)$$

式中 $\delta \cdot (\delta/\delta_4)^{(t_1-t)/t_s}$ 为损耗衰减函数, t_s 为声场消失时间, $\delta_4 = \delta_1 + \delta_3$ 。

当 Q 开关完全打开后, 损耗项就只有 δ_4 , 将方程(1-b)中的 δ 换成 δ_4 , 得到 Q 开关完全打开后的速率方程组表达式:

$$\left\{ \begin{array}{l} \frac{d\Delta N}{dt} = W - \frac{c\sigma}{LA} \Delta N S - \frac{\Delta N}{\tau_f}, \quad t_s < t \\ \frac{dS}{dt} = \frac{c\sigma}{LA} \Delta N S - \frac{\delta_4 c}{2L} S, \end{array} \right. \quad (3-a)$$

$$\left\{ \begin{array}{l} \frac{d\Delta N}{dt} = W - \frac{c\sigma}{LA} \Delta N S - \frac{\Delta N}{\tau_f}, \quad t_s < t \\ \frac{dS}{dt} = \frac{c\sigma}{LA} \Delta N S - \frac{\delta_4 c}{2L} S, \end{array} \right. \quad (3-b)$$

用四阶 Runge-Kutta 方法对上述 3 个方程组联立求数值解, 计算参数选取为: $W = 4.02 \times 10^{17}$ s^{-1} , $c = 3 \times 10^8 \text{ m/s}$, $L = 60 \text{ mm}$, $\tau_f = 480 \mu\text{s}$, $\sigma = 3.0 \times 10^{-19} \text{ cm}^2$, $A = \pi \times (100 \mu\text{m})^2$, $\delta_1 = 2\%$, $\delta_2 = 17\%$, $\delta_3 = 1\%$, $t_s = 100 \text{ ns}$, $t_1 = 390 \mu\text{s}$ 。计算的声光调 Q 激光脉冲波形如图 6 所示, 脉冲宽度 $\tau = 52 \text{ ns}$, 能量 $E = 6.2 \mu\text{J}$ 。

计算值优于实验结果, 这是由于计算考虑的泵浦光与固体激光器有良好的模式匹配, 而实际实验的泵浦光焦斑大于固体激光基模尺寸, 有效泵浦光功率较低。另外, 计算的 σ , τ_f 参数均引用 Nd: YLF 的主吸收峰 797 nm 处数据, 而实际使用的 MQW-LDA 的中心波长为 790.7 nm, 且有较大的谱线宽度, 有效光谱吸收较低。作为进一步研究, 选择固体激光介质和二极管激光器, 使之达到较好的光谱吸收; 设计柱面-非球面光耦合器, 提高耦合效率; 在声光介质反射面增加吸收材料, 建立稳定的声场; 改变输出腔耦合度, 提高激光输出功率。

研究过程中得到沈冠群、张正泉、范瑞英、徐俊英、张敬明、陈广民等人的帮助, 谨表衷心的感谢。

参 考 文 献

- 1 W. C. Schwartz *et al.*, *Laser Focus World*, **75**, July(1991)
- 2 D. C. Shannon *et al.*, *Opt. Lett.*, **16**, 318(1991)
- 3 T. R. Steele *et al.*, *Opt. Lett.*, **16**, 399(1991)
- 4 Zhou Fuzheng *et al.*, *SJS*, **8A4**, Nov. 8~9(1990)
- 5 周复正 *et. al.*, 中国激光, **18**(11), 806(1991)
- 6 周复正 *et al.*, 激光与红外, **22**(2), 1(1992)
- 7 P. E. Perkins *et al.*, *J. Opt. Soc. Am. B*, **4**, 1066(1987)

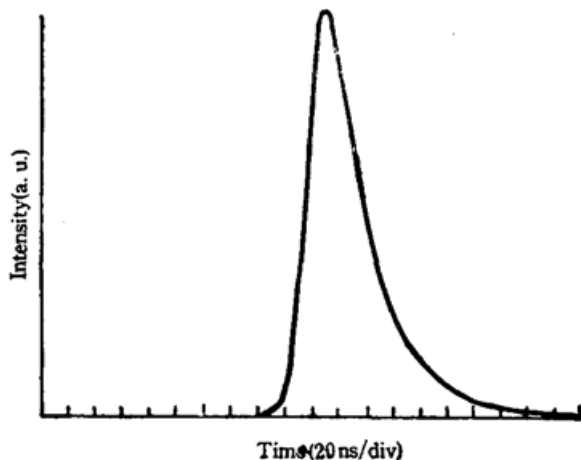


Fig. 6 Calculated waveform profile of Q-switched Nd:YLF laser